

## Projections of Temperature and Precipitation Changes under CMIP6 Scenarios in Sistan-va-Baluchestan Province

S. Mirshekari<sup>1\*</sup>, F. Yaghoubi<sup>2</sup>, S.A. Hashemi<sup>3</sup>

1- Assistant Professor, Agriculture Institute, Research Institute of Zabol, Zabol, Iran

(\*- Corresponding Author Email: [Smirshekari@uoz.ac.ir](mailto:Smirshekari@uoz.ac.ir))

2- Postdoctoral Researcher, Department of Agrotechnology, Faculty of Agriculture, Ferdowsi University of Mashhad, Mashhad, Iran

3- Hamoun International Wetland Institute, Research Institute of Zabol, Zabol, Iran

Received: 31-07-2024

Revised: 28-11-2024

Accepted: 31-12-2024

Available Online: 31-12-2024

### How to cite this article:

Mirshekari, S., Yaghoubi, F., & Hashemi, S.A. (2025). Projections of temperature and precipitation changes under CMIP6 scenarios in Sistan-va-Baluchestan province. *Journal of Water and Soil*, 38(6), 765-780. (In Persian with English abstract). <https://doi.org/10.22067/jsw.2024.89164.1422>

### Introduction

The 21st century is witnessing the increase of climate change as an important challenge due to its destructive environmental and socio-economic effects. Extreme climatic conditions have become frequent and more intense in recent decades as a result of human activities. Iran, as one of the countries in the Middle East with a different climate in each region of the country, has suffered significant adverse effects of climate change. Considering the importance of the climate change, it is important to investigate the changes in climate variables to know the future conditions and make management decisions. In the field of climate research, global climate models are useful tools that are often used to investigate the global climate system, including historical and projected periods. Since the use of the CMIP6 dataset provides improved clarity and accuracy for predicting future climate forecasts, the main objective of the present study is to predict the temperature and precipitation changes in the near, mid, and far future in Sistan-va-Baluchestan province.

### Materials and Methods

The minimum temperature, maximum temperature, and precipitation data of 10 general circulation models (GCMs) of the 6th IPCC report for the baseline (1990-2014) were downloaded from the Global Climate Research Program database (<https://esgf-node.llnl.gov>). Then GCMs were including ACCESS-CM2, CMCC-ESM2, CNRM-CM6-1-HR, CNRM-ESM2-1, EC-Earth3-CC, EC-Earth3-Veg-LR, INM-CM4-8, INM-CM5-0, MIROC6, and NorESM2-MM. Four statistical indicators including correlation coefficient ( $R^2$ ), RMSE, Nash-Sutcliffe efficiency (NSE), and mean absolute error (MAE) were used to evaluate the performance of 10 GCMs. Based on the results obtained from the these indicators, the models that had higher performance in predicting the temperature and precipitation data were selected as the best models for forecasting in the future. The ensemble of these models under two SSP2-4.5 and SSP5-8.5 scenarios for the near, middle, and far future (2026-2050, 2051-2075, and 2076-2100) were extracted from the World Climate Research Program database.

CMhyd (Climate Model data for hydrologic modeling) tool was used to bias correction climate data of the selected models. In order to choose the best bias correction method, the  $R^2$ , RMSE, NSE, and MAE were estimated.

After bias correction, the climate data of selected models were ensembled and then the changes in precipitation and maximum and minimum temperature in three future periods compared to the baseline was estimated.



## Results and Discussion

The results showed that out of 10 GCMs, seven models had good performance ( $R^2 > 0.40$ ,  $4.23 < RMSE < 12.02^\circ C$ ,  $0.12 < NSE < 0.74$ , and  $3.36 < MAE < 9.59^\circ C$ ) in simulating daily minimum and maximum temperature. However, the performance of all models in simulated daily precipitation was poor ( $R^2 > 0.19$ ,  $1.24 < RMSE < 3.70$  mm,  $-7.41 < NSE < -0.57$ , and  $0.23 < MAE < 0.85$  mm).

Among the different bias correction methods of temperature and precipitation available in CMhyd, the distribution mapping method had the best performance.

In all three regions, compared to the baseline, the average annual minimum and maximum temperature under two scenarios will increase in the future periods and precipitation will decrease in most periods and scenarios. These changes will be mainly in the SSP5-8.5 scenario compared to SSP2-4.5 and also in the far future period compared to the middle and near future. Averaged across all locations, annual maximum temperature showed increases in near, middle, and far projected periods of 1.3, 2.1, and 2.8°C under SSP2-4.5 and 1.6, 3.1, and 5.1°C under SSP5-8.5, respectively (Fig. 2), while for minimum temperature, the increases will be of 1.6, 2.6, and 3.4°C for SSP2-4.5 and 1.9, 3.9, and 6.3°C for SSP5-8.5. The range of annual precipitation among all sites was from -58.22 to 49.33% under SSP5-8.5 in the near and far future periods in Zabol and Iranshahr, respectively.

The annual increase in the average maximum and minimum temperature will be mainly due to the increase in air temperature in the months of January, February, August, September, October, November and December. The annual decrease in precipitation will mainly result from the decrease in precipitation in January, February, March, November, and December, and the annual increase in precipitation will result from the significant increase in precipitation in May and October compared to the baseline.

## Conclusion

The results showed that under different scenarios of climate change, the maximum and minimum temperatures in the near, middle, and far future periods will face an increase compared to the baseline. However, the precipitation changes in the future time periods are not the same as compared to the baseline, and in some periods the precipitation will decrease and in others it will increase. But in general, the decrease in precipitation will be more than its increase. Therefore, it is very important to formulate and implement appropriate management programs for the needs of each region, in order to properly manage water resources and adapt to extreme temperatures and their consequences.

**Keywords:** Bias correction, Climate change, CMhyd, Maximum temperature, Minimum temperature

## مقاله پژوهشی

جلد ۲۸، شماره ۶، بهمن-اسفند ۱۴۰۳، ص. ۷۶۵-۷۸۰

# پیش‌نگری تغییرات دما و بارندگی تحت سناریوهای CMIP6 در استان سیستان و بلوچستان

سمیه میرشکاری<sup>۱\*</sup> - فاطمه یعقوبی<sup>۲</sup> - سید ابوالفضل هاشمی<sup>۳</sup>

تاریخ دریافت: ۱۴۰۳/۰۵/۱۰

تاریخ پذیرش: ۱۴۰۳/۱۰/۱۱

### چکیده

تغییر اقلیم به دلیل تأثیرات مخرب زیست‌محیطی و اجتماعی-اقتصادی آن به مهم‌ترین چالش در قرن بیست و یکم تبدیل شده است. در این مطالعه، ۱۰ مدل گردش عمومی از ششمین گزارش IPCC جهت پیش‌نگری تغییرات بارندگی و دما در سه منطقه ایرانشهر، زابل و زاهدان در استان سیستان و بلوچستان مورد ارزیابی قرار گرفتند. سپس روش‌های مختلف تصحیح اریبی در CMHyd ارزیابی شدند و با استفاده از روشی که از کارایی بالاتری نسبت به سایر روش‌ها برخوردار بود، بارندگی و دمای حداکثر و حداقل مدل‌های منتخب برای سه دوره زمانی در آینده (۲۰۵۰-۲۰۷۵، ۲۰۲۶-۲۰۵۰، ۲۰۵۱-۲۰۷۶) تحت دو سناریو SSP2-4.5 و SSP5-8.5 تصحیح گردیدند. داده‌های تصحیح اریبی شده مدل‌های منتخب میانگین‌گیری شده و سپس تغییرات آن‌ها در دو مقیاس ماهانه و سالانه در سه دوره آینده نسبت به دوره پایه (۱۹۹۴-۲۰۱۴) مورد ارزیابی قرار گرفت. نتایج نشان داد که از ۱۰ مدل مورد مطالعه، ۸ مدل از کارایی خوبی ( $R^2 < 0.40$ ،  $RMSE < 12/02$ ،  $MAE < 4/23$  درجه سانتی‌گراد،  $NSE < 0.74$ ،  $MAE < 9/59$ ،  $MAE < 3/36$  درجه سانتی‌گراد) در شبیه‌سازی دمای حداقل و حداکثر روزانه برخوردار بودند. باین‌حال، کارایی تمامی مدل‌ها در شبیه‌سازی شده بارندگی روزانه ضعیف بود ( $R^2 > 0.19$ ،  $RMSE < 3/70$  میلی‌متر،  $NSE < -0.57$ ،  $MAE < 0/23$  میلی‌متر). از بین روش‌های مختلف تصحیح اریبی دما و بارندگی موجود در CMHyd، روش نقشه‌برداری توزیع دما و بارش بهترین عملکرد را داشتند و سبب بهبود کارایی خروجی‌های مدل‌های اقلیمی گردیدند. به‌طور میانگین در همه مکان‌ها، دمای حداکثر سالانه در دوره‌های پیش‌بینی شده نزدیک، میانه و دور به ترتیب ۱/۳، ۲/۱، و ۲/۸ درجه سانتی‌گراد تحت SSP2-4.5 و ۱/۶، ۳/۱، و ۵/۱ درجه سانتی‌گراد تحت SSP5-8.5 افزایش نشان خواهد داد. درحالی‌که برای دمای حداقل، میزان افزایش ۱/۶، ۲/۶، و ۳/۴ درجه سانتی‌گراد برای SSP2-4.5 و ۱/۹، ۳/۹، و ۶/۳ درجه سانتی‌گراد برای SSP5-8.5 خواهد بود. بارندگی سالانه در تمامی مکان‌ها بین ۵۸/۲۲- تا ۴۹/۳۳ درصد نسبت به دوره پایه تحت سناریوی SSP5-8.5 به ترتیب در دوره‌های آینده نزدیک و دور در زابل و ایرانشهر متغیر خواهد بود. افزایش سالانه در میانگین دمای حداکثر و حداقل عمدتاً ناشی از افزایش دمای هوا در ماه‌های ژانویه، فوریه، آگوست، سپتامبر، اکتبر، نوامبر و دسامبر خواهد بود. کاهش سالانه بارندگی نیز عمدتاً از کاهش بارندگی در ماه‌های ژانویه، فوریه، مارچ، نوامبر و دسامبر و افزایش سالانه بارندگی از افزایش قابل توجه بارندگی در ماه‌های می و اکتبر نسبت به دوره پایه ناشی خواهد شد. نتایج مطالعه حاضر می‌تواند به بهبود درک ما از اثرات تغییر اقلیم بر منطقه مورد مطالعه کمک کند و برنامه‌ریزان و ذینفعان را تشویق کند تا راهبردهای بهینه برای کاهش اثرات منفی آن را شناسایی کنند.

**واژه‌های کلیدی:** تصحیح اریبی، تغییر اقلیم، دمای حداقل، دمای حداکثر، CMHyd

۱- استادیار گروه زراعت، پژوهشکده کشاورزی، پژوهشگاه زابل، زابل، ایران

(\*)- نویسنده مسئول، (Email: [Smirshकारी@uoz.ac.ir](mailto:Smirshकारी@uoz.ac.ir))

۲- پژوهشگر پسادکتری، گروه اگروتکنولوژی، دانشکده کشاورزی، دانشگاه فردوسی مشهد، مشهد، ایران

۳- پژوهشکده تالاب بین‌المللی هامون، پژوهشگاه زابل، زابل، ایران

## مقدمه

قرن بیست و یکم شاهد افزایش تغییرات اقلیمی به‌عنوان یک چالش مهم به‌دلیل اثرات مخرب زیست‌محیطی و اجتماعی-اقتصادی آن است. شرایط اقلیمی حدی در دهه‌های اخیر در نتیجه فعالیت‌های انسانی مکرر و شدیدتر شده است (Mukheef et al., 2024). این فعالیت‌ها مانند سوزاندن سوخت‌های فسیلی، آلودگی‌های صنعتی، تغییر کاربری زمین و افزایش جمعیت، منجر به افزایش حجم گازهای گلخانه‌ای منتشرشده در اتمسفر و در نتیجه الگوهای اقلیمی غیرعادی گردیده است (Muhaisen et al., 2024). براساس گزارش هیئت بین‌الدول تغییر اقلیم<sup>۱</sup> (IPCC, 2020) غلظت گازهای گلخانه‌ای در سراسر جهان، مانند اکسیدنیترژن، دی‌اکسیدکربن و متان در نتیجه گسترش اقتصاد و افزایش جمعیت به‌شدت افزایش یافته است. از اواسط قرن بیستم، گرمایش مشاهده‌شده بیشتر ناشی از اثرات تشدید انتشار گازهای گلخانه‌ای است که در سراسر سیستم آب و هوایی شناسایی شده است. بنابراین، کاهش انتشار گازهای گلخانه‌ای راه اصلی کنترل تغییرات اقلیمی خواهد بود؛ زیرا این اقدامات، زمانی که با سازگاری ترکیب شوند، می‌توانند خطرات ناشی از آن را کاهش دهند (Faisal et al., 2023; Rashid et al., 2022).

در زمینه تحقیقات اقلیمی، مدل‌های آب و هوای جهانی ابزارهای مفیدی هستند که اغلب برای تحقیق در مورد سیستم اقلیمی در سراسر جهان، شامل دوره‌های تاریخی و پیش‌بینی‌شده، استفاده می‌شوند (Mohsen et al., 2020). از سال ۱۹۹۵ تاکنون، محققان بسیاری از مؤسسات در سراسر جهان به‌طور مداوم برای توسعه مدل‌های گردش عمومی جهت تولید مدل‌های قابل اعتماد و کارآمد برای شبیه‌سازی سیستم‌های اقلیمی کار کرده‌اند (Kamworapan et al., 2021; Hassan, 2021). در حال حاضر، هیئت بین‌الدول تغییر اقلیم، فاز ششم پروژه مقایسه متقابل مدل‌های اقلیمی (CMIP<sup>۲</sup>) را منتشر کرده است که در آن سناریوهای جدید انتشار و کاربری زمین تحت ویژگی‌های جدید توسعه اجتماعی، یعنی مسیرهای اجتماعی و اقتصادی مشترک (SSPs<sup>۳</sup>) در نظر گرفته شده‌اند (Mukheef et al., 2024). از زمانی که پیش‌بینی‌های اقلیمی CMIP6 در سال ۲۰۱۶ در دسترس قرار گرفت، چندین مطالعه (Bağçacı Yang et al., 2021; et al., 2021; Monte Verde et al., 2022) این پایگاه داده را ارزیابی کرده‌اند. نتایج این مطالعات نشان می‌دهد که سناریوهای

جدید اقلیمی CMIP6 نتایج قابل قبول تری نسبت به سناریوهای مسیرهای تمرکز نماینده (RCPS<sup>۴</sup>) ارائه می‌دهند. CMIP6 از پیشرفت‌های قابل توجهی نسبت به CMIP5 برخوردار است، از جمله این واقعیت که مدل‌های CMIP6 از وضوح بالاتری برخوردار هستند که امکان پیش‌بینی دقیق‌تر تغییرات اقلیمی منطقه را فراهم می‌کنند. با این حال، در سطح معینی از انتشار گازهای گلخانه‌ای، مدل‌های CMIP6 دمای جهانی را کمی بالاتر از CMIP5 پیش‌بینی می‌کنند (Mukheef et al., 2024).

ایران به‌عنوان یکی از کشورهای خاورمیانه با آب و هوای متفاوت در هر منطقه از کشور، اثرات نامطلوب قابل توجهی از تغییرات اقلیمی متحمل شده است. چندین تحقیق در مورد تغییرات اقلیمی در مناطق مختلف ایران که از نتایج حاصل از مدل‌های گردش عمومی استفاده کرده‌اند انجام شده است. میان‌آبادی و همکاران (Mianabadi et al., 2023) تغییرات بارندگی و دما را در کرمان بر مبنای سناریوهای SSP1-2.6، SSP2-4.5، SSP3-7.0 و SSP5-8.5 در دوره ۲۱۰۰-۲۰۵۱ مورد بررسی قرار دادند. نتایج آن‌ها بیانگر عدم معنی‌داری در روند و میانگین بارندگی بود، در حالی که روند تغییرات و میانگین دما از نظر آماری معنی‌دار بود. همچنین آن‌ها نشان دادند که احتمال وقوع تنش‌های گرمایی در آینده افزایش خواهد یافت. عبدالعلی‌زاده و همکاران (Abdolalizadeh et al., 2023) در مطالعه‌ای به ارزیابی متغیرهای بارندگی و دما در حوضه آبریز دریاچه ارومیه با استفاده از مدل‌های CMIP6 تحت دو سناریوی SSP1-2.6 و SSP5-8.5 در دوره‌های آینده ۲۵۵-۲۰۳۱ و ۲۰۹۵-۲۰۷۱ پرداختند. نتایج آن‌ها حاکی از آن بود که میانگین دمای منطقه مورد مطالعه در هر دو دوره آینده تحت هر دو سناریو نسبت به دوره پایه (۲۰۱۴-۱۹۹۰) افزایش و بارندگی کاهش خواهد یافت. قربانی مینائی و همکاران (Ghorbani Minaei et al., 2024) به بررسی اثر تغییر اقلیم بر روند بارندگی و دما در سه دوره ۲۰۵۰-۲۰۲۶، ۲۰۷۵-۲۰۵۱ و ۲۱۰۰-۲۰۷۶ در حوضه قره‌سو با استفاده از مدل‌های CMIP6 پرداختند. نتایج آن‌ها نشان داد که داده‌های میانگین سالانه متغیرهای دمای حداقل و حداکثر بر مبنای سناریوی SSP2-4.5 در دوره آینده نزدیک و میانه و برای سناریوی SSP5-8.5 در هر سه دوره آینده دارای روند افزایشی معنی‌دار است. با این حال روند میانگین سالانه بارندگی با وجود عدم معنی‌دار بودن در برخی موارد افزایشی و در برخی کاهش‌ی بود.

باتوجه به اهمیت بروز پدیده تغییر اقلیم، بررسی تغییر در متغیرهای اقلیمی برای آگاهی از شرایط آینده و اتخاذ تصمیمات مدیریتی دارای

- 1- Intergovernmental Panel on Climate Change
- 2- Coupled Model Intercomparison Project Phase 6
- 3- Shared Socio-economic Pathways

4- Representative Concentration Pathways

### داده‌های مورد استفاده

داده‌های آب و هوایی مشاهداتی دمای حداقل، دمای حداکثر و بارندگی در مقیاس زمانی روزانه برای سه ایستگاه ایرانشهر، زابل و زاهدان در دوره زمانی ۱۹۹۰ تا ۲۰۱۴ از سازمان هواشناسی کشور دریافت شد. جهت دریافت داده‌های اقلیمی آینده از داده‌های مدل‌های گردش عمومی CMIP6 استفاده گردید. انتخاب مدل‌ها بر مبنای مقیاس زمانی روزانه، قدرت تفکیک مکانی حداکثر ۲۰۰ کیلومتر و موجود بودن داده‌ها برای سناریوهای مدنظر (SSP5- و SSP2-4.5) انجام شد. (8.5)

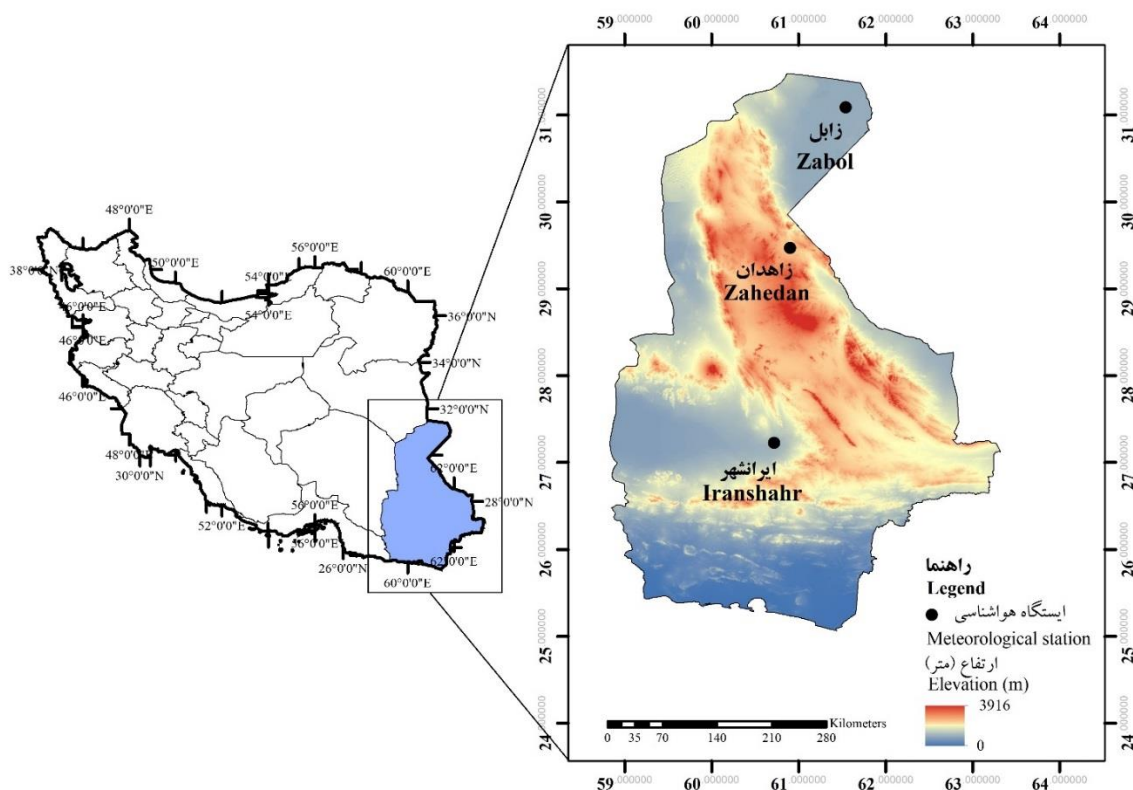
بر این مبنای ۱۰ مدل شامل ACCESS-CM2، CMCC-ESM2، CNRM-ESM2-1، CNRM-CM6-1-HR، Earth3-CC، Earth3-Veg-LR، EC-Earth3، INM-CM4-8، INM-CM5-0، MIROC6 و NorESM2-MM انتخاب شدند که اطلاعات آن‌ها در **جدول ۲** ارائه شده است. داده‌های دمای حداقل، دمای حداکثر و بارندگی این مدل‌ها برای دوره پایه (۱۹۹۰-۲۰۱۴) از پایگاه برنامه جهانی تحقیقات اقلیمی (<https://esgf-node.llnl.gov>) دانلود شدند.

اهمیت می‌باشد. با این وجود تاکنون تحقیقی در مورد استفاده از مجموعه داده‌های CMIP6 برای پیش‌بینی تغییرات اقلیمی آینده در استان سیستان و بلوچستان انجام نشده است. از آنجایی که استفاده از مجموعه داده CMIP6 وضوح و دقت بهبود یافته‌ای را برای پیش‌بینی پیش‌نگری‌های اقلیمی آینده فراهم می‌کند، هدف اصلی مطالعه حاضر پیش‌بینی تغییرات پارامترهای اقلیمی دما و بارش در آینده نزدیک، میانه و دور برای این منطقه خشک تحت تأثیر تغییرات اقلیمی است.

### مواد و روش‌ها

#### منطقه مورد مطالعه

مناطق مورد مطالعه در این تحقیق شامل سه شهر ایرانشهر، زابل و زاهدان واقع در استان سیستان و بلوچستان و در مختصات جغرافیایی ۲۵ درجه و ۳ دقیقه تا ۳۱ درجه و ۲۷ دقیقه عرض شمالی و ۵۸ درجه و ۵۰ دقیقه تا ۶۳ درجه و ۲۱ دقیقه طول شرقی می‌باشند (شکل ۱ و جدول ۱). این استان با حدود ۱۸۰۷۲۶ کیلومترمربع وسعت، دومین استان پهناور کشور بوده که بیش از ۱۱ درصد وسعت ایران را دربر می‌گیرد.



شکل ۱- موقعیت جغرافیایی منطقه و ایستگاه‌های مورد مطالعه  
Figure 1- Geographical location of the study area and stations

جدول ۱- مشخصات ایستگاه‌های سینوپتیک مورد مطالعه

Table 1- Characteristics of the studied synoptic stations

ایستگاه سینوپتیک Synoptic station	ارتفاع Elevation (m)	عرض جغرافیایی Latitude (decimal degrees)	طول جغرافیایی Longitude (decimal degrees)	دوره آماری Weather data period
ایران شهر Iranshahr	591.1	27.23	60.72	1990-2014
زابل Zabol	489.2	31.09	61.54	1990-2014
زاهدان Zahedan	1370.0	29.47	60.90	1990-2014

جدول ۲- مدل‌های گردش کلی مورد استفاده و قدرت تفکیک مکانی آن‌ها

Table 2- The used GCMs and their spatial resolution

نام مدل Model name	کشور Country	قدرت تفکیک افقی Horizontal resolution (in degrees)	
		طول جغرافیایی Longitude	عرض جغرافیایی Latitude
		ACCESS-CM2	Australia
CMCC-ESM2	Italy	1.25	0.94
CNRM-CM6-1	France	1.41	1.41
CNRM-ESM2-1	France	1.41	1.41
EC-Earth3-CC	Europe	0.70	0.70
EC-Earth3-Veg-LR	Europe	1.13	1.13
INM-CM4-8	Russia	2.00	1.50
INM-CM5-0	Russia	2.00	1.50
KACE-1-0-G	South Korea	1.88	1.25
MIROC6	Japan	1.41	1.41
NorESM2-MM	Norway	1.25	0.94

$$NSE=1-\frac{\left[\sum_{i=1}^n(O_i-P_i)^2\right]}{\left[\sum_{i=1}^n(O_i-\bar{O})^2\right]} \quad (3)$$

$$MAE=\frac{1}{n}\sum_{i=1}^n|O_i-P_i| \quad (4)$$

بر مبنای نتایج حاصل از محاسبه شاخص‌ها، مدل‌هایی که از کارایی بالاتری در پیش‌بینی داده‌های دما و بارندگی برخوردار بودند به‌عنوان مدل‌های منتخب جهت پیش‌نگری در آینده تعیین گردیدند. سپس داده‌های این مدل‌ها تحت دو سناریوی SSP2-4.5 و SSP5-8.5 برای سه دوره زمانی در آینده نزدیک، میانه و دور (به ترتیب ۲۰۲۶-۲۰۵۰، ۲۰۵۱-۲۰۷۵ و ۲۰۷۶-۲۱۰۰) از پایگاه برنامه جهانی تحقیقات اقلیمی استخراج گردیدند.

#### تصحیح اریبی داده‌های اقلیمی

جهت تصحیح اریبی داده‌های اقلیمی مدل‌های منتخب از نرم‌افزار CMHyd<sup>۴</sup> استفاده شد. CMHyd یک نرم‌افزار مدل‌سازی برای تصحیح و حذف اریبی‌ها از داده‌های اقلیمی آینده می‌باشد. این

سپس این داده با استفاده از بسته نرم‌افزاری ncd4 نرم‌افزار R برای مناطق مورد مطالعه در قالب فایل‌های Excel استخراج گردیدند.

#### ارزیابی مدل‌های اقلیمی و انتخاب مدل‌های برتر

جهت بررسی کارایی ۱۰ مدل اقلیمی از شاخص‌های ارزیابی ضریب تبیین ( $R^2$ )، مجذور میانگین مربع خطا ( $RMSE^1$ )، کارایی نش-ساتکلایف ( $NSE^2$ ) و میانگین خطای مطلق ( $MAE^3$ ) (معادله‌های ۱ تا ۴) استفاده شد (Mukheef et al., 2024):

$$R^2 = \frac{\left[\sum_{i=1}^n (P_i - \bar{P})(O_i - \bar{O})\right]^2}{\sum_{i=1}^n (P_i - \bar{P})^2 \sum_{i=1}^n (O_i - \bar{O})^2} \quad (1)$$

$$RMSE = \sqrt{\frac{1}{n} \sum_{i=1}^n (O_i - P_i)^2} \quad (2)$$

- 1- Root mean square error
- 2- Nash-Sutcliffe efficiency
- 3- Mean absolute error

4- Climate Model data for hydrologic modeling

## نتایج و بحث

### ارزیابی مدل‌های اقلیمی و انتخاب مدل‌های برتر

نتایج ارزیابی کارایی مدل‌های اقلیمی (جدول‌های ۳ و ۴) بیانگر کارایی متفاوت این مدل‌ها در شبیه‌سازی دما و بارندگی بود. این نتیجه نشان‌دهنده اهمیت استفاده از مدل‌های بیشتر در مطالعات تغییر اقلیم و اکتفا نکردن به تفکیک افقی مدل‌ها جهت گزینش آن‌ها است. در بین مدل‌های موردبررسی، از نظر شبیه‌سازی دمای حداکثر، بهترین کارایی را مدل INM-CM5-0 برای ایران‌شهر و زاهدان و مدل NorESM2-MM برای زابل داشت. مدل CMCC-ESM2 بهترین کارایی را در شبیه‌سازی دمای حداقل برای ایران‌شهر و زابل و مدل EC-Earth3-Veg-LR بهترین کارایی را برای زاهدان داشت. مدل INM-CM4-8 برای ایران‌شهر و مدل ACCESS-CM2 برای زابل و زاهدان از بهترین کارایی در شبیه‌سازی بارندگی روزانه نسبت به سایر مدل‌ها برخوردار بودند. اشرف و همکاران (Ashraf et al., 2013) بیان داشتند که در یک منطقه الزاماً یک مدل یکسان، بهترین پیش‌بینی را برای تمام متغیرهای اقلیمی ارائه نمی‌دهد و لذا ممکن است دقیق‌ترین پیش‌بینی برای متغیرهای بارندگی و دمای آن منطقه توسط دو مدل مختلف ایجاد گردد.

به‌طورکلی تمامی مدل‌های موردبررسی به‌جز CNRM-CM6-1-HR برای شهر زابل و MIROC6 برای هر سه شهر از کارایی خوبی ( $R^2 < 0/40$ ،  $0/12 < RMSE < 4/23$  درجه‌سانتی‌گراد،  $0/74 < NSE < 0/12$ ،  $0/59 < MAE < 3/36$  درجه‌سانتی‌گراد) در شبیه‌سازی دمای حداکثر و حداقل برخوردار بودند (جدول ۳). باتوجه به قدرت تفکیک افقی مدل‌های CNRM-CM6-1-HR و MIROC6 در مقایسه با سایر مدل‌های مورد مطالعه (جدول ۲) می‌توان بیان داشت که قدرت تفکیک افقی کمتر یک مدل نمی‌تواند به‌تنهایی موجب عدم قطعیت بالای آن گردد. علاوه‌بر قدرت تفکیک افقی ضعیف، خطاها و عدم قطعیت مدل‌های اقلیمی در برآورد دما در ایران می‌تواند ناشی از پامترسازی ضعیف مدل‌ها و کمبود داده‌های مشاهداتی به‌عنوان ورودی مدل‌ها باشد (Zarrin & Dadashi, Roudbari, 2022). لذا قدرت تفکیک افقی به‌تنهایی نمی‌تواند معیار مناسبی برای انتخاب مدل در نظر گرفته شود. بااین‌حال، یانگ و همکاران (Yang et al., 2021) همبستگی معنی‌داری بین کارایی مدل‌های CMIP6 و قدرت تفکیک آن‌ها گزارش نمودند.

تمامی مدل‌های موردبررسی از کارایی بسیار ضعیفی ( $R^2 > 0/19$ ،  $3/70 < RMSE < 1/24$  میلی‌متر،  $-0/57 < NSE < -7/41$ ،  $0/85 < MAE < 0/23$  میلی‌متر) در شبیه‌سازی بارندگی در تمام مناطق برخوردار بودند (جدول ۴) که در این بین، مدل‌های CNRM-CM6-1-HR، MIROC6 و CNRM-ESM2-1 کارایی ضعیف‌تری داشتند. لذا استفاده از داده‌های بارندگی مدل‌ها برای کاربردهای

نرم‌افزار به‌دلیل برخورداری از روش‌های گوناگون تصحیح اریبی و اجرای سریع روش‌های منتخب، به‌عنوان مدلی کارا جهت ریزمقایسه‌نمایی برون‌داد مدل‌های CMIP6 در مطالعات مختلف به‌کاررفته است. در این مطالعه، داده‌های هر یک از مدل‌ها برای دوره ۲۰۱۴-۱۹۹۰ با استفاده از روش‌های تصحیح اریبی بارندگی شامل مقیاس‌گذاری خطی<sup>۱</sup>، تصحیح تغییر دلتا<sup>۲</sup>، مقیاس‌گذاری شدت بارش محلی<sup>۳</sup>، تبدیل توان بارش<sup>۴</sup> و نقشه‌برداری توزیع بارش<sup>۵</sup> و روش‌های تصحیح اریبی دمای حداقل و حداکثر شامل مقیاس‌گذاری خطی، تصحیح تغییر دلتا، مقیاس‌گذاری واریانس دما<sup>۶</sup> و نقشه‌برداری توزیع دما<sup>۷</sup> (Teutschbein & Seibert, 2012) تصحیح شدند. سپس با استفاده از شاخص‌های ارزیابی ضریب تبیین  $R^2$ ، RMSE، NSE و MAE (معادله‌های ۱ تا ۴) بهترین روش تصحیح اریبی انتخاب و داده‌های سه دوره آینده برای هر یک از مدل‌های اقلیمی با استفاده از آن روش مورد تصحیح قرار گرفتند.

در این معادلات،  $O_i$  بیانگر مقدار مشاهده‌شده،  $P_i$  مقدار پیش‌بینی‌شده،  $n$  تعداد کل داده‌ها و  $\bar{O}$  و  $\bar{P}$  به‌ترتیب نشان‌دهنده میانگین مقادیر مشاهده‌شده و پیش‌بینی‌شده هستند.

ایده‌آل‌ترین مقدار RMSE و MAE صفر است و هرچه مقدار آن کمتر باشد نشان از برتری روش مورد استفاده دارد و هرچه مقدار آن بزرگ‌تر باشد بیانگر خطای بیشتر مدل است (Willmott, 1981). NSE بین منفی بی‌نهایت تا یک متغیر است و هرچه مقدار آن به یک نزدیک‌تر باشد نشان‌دهنده عملکرد بهتر مدل است (Nash & Sutcliffe, 1970).

### تجزیه و تحلیل داده‌ها

داده‌های اقلیمی مدل‌های منتخب پس از تصحیح اریبی میانگین‌گیری‌شده و سپس میزان تغییرات در آن‌ها در دوره‌های آینده (۲۰۲۶-۲۰۵۰، ۲۰۲۶-۲۰۷۵ و ۲۰۵۱-۲۰۷۵) نسبت به دوره پایه (۲۰۱۴-۱۹۹۰) سنجیده شد.

تجزیه و تحلیل داده‌ها با استفاده از نرم‌افزار R و رسم نمودارها با استفاده از نرم‌افزار Origin 2024 صورت گرفت.

- 1- Linear scaling
- 2- Delta-change correction
- 3- Precipitation local intensity scaling
- 4- Power transformation of precipitation
- 5- Distribution mapping of precipitation
- 6- Variance scaling of temperature
- 7- Distribution mapping of temperature

(پستی‌ولندی زیاد) باشد (شکل ۱). زیرا زمانی که در یک شبکه، توپوگرافی یکنواخت نباشد (به‌ویژه در مناطق کوهستانی) داده‌های شبیه‌سازی شده به‌طور قابل توجهی متفاوت از داده‌های ایستگاهی ثبت شده برای آن منطقه خواهد بود (Van Wart et al., 2015).  
 باتوجه‌به کارایی ضعیف مدل‌های CNRM-CM6-1-HR و CNRM-CM6-1-HR، MIROC6 در شبیه‌سازی دما و ESM2-1 و MIROC6 در شبیه‌سازی بارندگی (جدول‌های ۳ و ۴)، از بین ۱۰ مدل مورد بررسی، ۷ مدل شامل ACCESS-CM2، EC-Earth3-Veg-LR، EC-Earth3-CC، CMCC-ESM2، INM-CM4-8، INM-CM5-0 و NorESM2-MM به‌عنوان مدل‌های برتر جهت تصحیح اریبی و ارزیابی میزان تغییرات دما و بارندگی انتخاب شدند.

هیدرولوژیکی بدون ریزمقیاس‌نمایی و تصحیح اریبی می‌تواند منجر به نتایج غیرمنطقی شود. لازم به ذکر است که باتوجه‌به تغییرات بسیار زیاد مکانی و زمانی بارندگی، مدل‌های اقلیمی توانایی بالایی در شبیه‌سازی این داده‌ها ندارند که این نتیجه در توافق با سایر مطالعاتی است که در این زمینه انجام شده است (Yang et al., 2021; Abdolalizadeh et al., 2023; Rashidi Ghane et al., 2023; GhorbaniMinaei et al., 2024). یزدان‌دوست و همکاران (Yazdandoost et al., 2021) بیان داشتند که شبیه‌سازی‌های مدل‌ها هنوز بسیار نامشخص هستند و قبل از استفاده از شبیه‌سازی‌ها در مطالعات ارزیابی تغییرات اقلیمی، درک خوب خطاها و سوگیری‌های اساسی ضروری است.  
 در بین مناطق، برای تمامی پارامترها بهترین کارایی به‌ترتیب برای ایرانشهر، زابل و زاهدان حاصل شد (جدول‌های ۳ و ۴). علت این امر می‌تواند قرارگیری زاهدان در شبکه‌ای با توپوگرافی پیچیده

جدول ۳- شاخص‌های کارایی آماری ارزیابی داده‌های دمای حداکثر و حداقل مدل‌های اقلیمی

Table 3- Indicators of statistical performance in evaluating maximum and minimum temperature data from climate models

ایستگاه	مدل	دمای حداکثر				دمای حداقل			
		Tmax				Tmin			
Station	Model	R <sup>2</sup>	RMSE (°C)	NSE	MAE (°C)	R <sup>2</sup>	RMSE (°C)	NSE	MAE (°C)
ایرانشهر Iranshahr	ACCESS-CM2	0.52	6.09	0.48	4.84	0.58	5.43	0.56	4.46
	CMCC-ESM2	0.63	5.36	0.63	4.12	0.75	4.23	0.73	3.36
	CNRM-CM6-1-HR	0.01	8.80	-0.01	7.35	0.16	7.72	0.06	8.71
	CNRM-ESM2-1	0.46	6.06	0.14	5.66	0.46	7.22	0.27	6.20
	EC-Earth3-CC	0.62	5.45	0.60	4.11	0.41	5.91	0.12	6.78
	EC-Earth3-Veg-LR	0.42	6.24	0.31	4.91	0.44	6.99	0.14	7.91
	INM-CM4-8	0.68	4.94	0.63	3.87	0.48	7.13	0.18	7.98
	INM-CM5-0	0.71	4.70	0.70	3.71	0.50	6.82	0.15	7.74
	MIROC6	-0.75	11.63	-0.73	9.80	0.70	4.61	0.67	3.74
NorESM2-MM	0.58	5.69	0.56	4.70	0.69	4.67	0.63	3.78	
زابل Zabol	ACCESS-CM2	0.59	6.62	0.53	5.14	0.75	4.97	0.73	3.93
	CMCC-ESM2	0.68	5.85	0.62	4.56	0.78	4.63	0.46	3.68
	CNRM-CM6-1-HR	0.54	6.94	0.54	5.36	0.72	5.19	0.70	4.12
	CNRM-ESM2-1	0.62	6.33	0.61	4.92	0.74	5.08	0.73	4.00
	EC-Earth3-CC	0.65	6.08	0.63	4.77	0.73	5.13	0.74	4.03
	EC-Earth3-Veg-LR	0.61	6.60	0.59	4.73	0.47	12.02	0.49	9.59
	INM-CM4-8	0.68	5.79	0.63	4.54	0.49	9.76	0.46	8.54
	INM-CM5-0	0.71	5.54	0.70	4.37	0.42	9.33	0.41	8.10
	MIROC6	0.04	10.10	0.04	8.41	0.61	6.16	0.60	5.04
NorESM2-MM	0.66	6.03	0.64	4.77	0.76	4.84	0.73	3.84	
زاهدان Zahedan	ACCESS-CM2	0.55	5.81	0.52	4.60	0.48	6.91	0.38	5.73
	CMCC-ESM2	0.45	6.42	0.43	5.33	0.45	8.77	0.15	7.62
	CNRM-CM6-1-HR	0.42	6.62	0.41	5.11	0.40	6.33	0.32	5.17
	CNRM-ESM2-1	0.48	6.24	0.47	4.81	0.49	6.36	0.37	5.18
	EC-Earth3-CC	0.58	5.63	0.56	4.31	0.43	6.14	0.41	4.87
	EC-Earth3-Veg-LR	0.58	5.65	0.59	4.47	0.44	6.08	0.40	4.87
	INM-CM4-8	0.50	6.14	0.47	5.05	0.43	6.17	0.43	5.00
	INM-CM5-0	0.53	5.95	0.52	4.88	0.44	6.10	0.45	4.95
	MIROC6	-1.38	13.39	-1.42	11.45	-0.58	10.26	-0.58	8.82
NorESM2-MM	0.61	5.40	0.62	4.23	0.48	6.43	0.39	5.32	

R<sup>2</sup>, RMSE, NSE, and MAE are correlation coefficient, root mean square error, Nash-Sutcliffe efficiency, and mean absolute error, respectively.



جدول ۴- شاخص‌های کارایی آماری ارزیابی داده‌های بارندگی مدل‌های اقلیمی

Table 4- Indicators of statistical performance in evaluating precipitation data from climate models

ایستگاه Station	مدل Model	R <sup>2</sup>	RMSE (mm)	NSE	MAE (mm)
ایرانشهر Iranshahr	ACCESS-CM2	0.19	2.28	-1.15	0.38
	CMCC-ESM2	0.14	2.09	-0.78	0.46
	CNRM-CM6-1-HR	0.05	3.70	-4.72	0.71
	CNRM-ESM2-1	0.06	3.34	-3.64	0.64
	EC-Earth3-CC	0.13	2.14	-0.91	0.37
	EC-Earth3-Veg-LR	0.16	2.06	-0.78	0.42
	INM-CM4-8	0.17	2.00	-0.66	0.64
	INM-CM5-0	0.15	2.03	-0.71	0.65
	MIROC6	0.05	3.49	-4.08	0.85
NorESM2-MM	0.09	2.35	-1.31	0.47	
زابل Zabol	ACCESS-CM2	0.19	1.39	-0.57	0.27
	CMCC-ESM2	0.10	1.63	-1.14	0.37
	CNRM-CM6-1-HR	0.06	1.91	-3.38	0.38
	CNRM-ESM2-1	0.07	1.60	-2.07	0.30
	EC-Earth3-CC	0.11	1.30	-1.01	0.23
	EC-Earth3-Veg-LR	0.08	1.45	-1.50	0.25
	INM-CM4-8	0.12	1.58	-1.02	0.54
	INM-CM5-0	0.08	1.78	-1.56	0.43
	MIROC6	0.05	2.65	-7.41	0.67
NorESM2-MM	0.12	1.60	-2.07	0.35	
زاهدان Zahedan	ACCESS-CM2	0.14	1.24	-0.86	0.24
	CMCC-ESM2	0.08	1.44	-1.50	0.31
	CNRM-CM6-1-HR	0.03	3.05	-6.52	0.66
	CNRM-ESM2-1	0.05	2.65	-4.67	0.56
	EC-Earth3-CC	0.09	1.66	-1.22	0.36
	EC-Earth3-Veg-LR	0.16	1.49	-0.80	0.33
	INM-CM4-8	0.10	1.30	-1.04	0.33
	INM-CM5-0	0.08	1.49	-1.67	0.40
	MIROC6	0.02	2.45	-3.84	0.65
NorESM2-MM	0.13	1.55	-0.95	0.35	

R<sup>2</sup>, RMSE, NSE, and MAE به ترتیب بیانگر ضریب تبیین، مجذور میانگین مربع خطا، کارایی نش-ساتکلایف و میانگین خطای مطلق می‌باشند. R<sup>2</sup>, RMSE, NSE, and MAE are correlation coefficient, root mean square error, Nash-Sutcliffe efficiency, and mean absolute error, respectively.

### تصحیح اریبی داده‌های اقلیمی

تصحیح اریبی داده‌های مدل‌های گردش عمومی جو، نیازمند انتخاب بهترین روش آماری جهت دستیابی به صحیح‌ترین نتایج برای پیش‌نگری‌های آینده تغییرات اقلیمی در هر منطقه است (Rashidi et al., 2023). در بین روش‌های مختلف تصحیح اریبی داده‌های اقلیمی هفت مدل مورد مطالعه برای تمام مناطق، بهترین کارایی را روش نقشه‌برداری توزیع دما برای دمای حداقل و حداکثر و روش نقشه‌برداری توزیع بارش برای بارندگی داشت (جدول‌های ۵ و ۶). با استفاده از این روش‌ها، در هر سه منطقه مورد مطالعه تغییرپذیری شبیه‌سازی‌های خام GCMs با موفقیت کاهش یافت و به داده‌های واقعی نزدیک‌تر شد. دامنه R<sup>2</sup>، RMSE، NSE و MAE برای داده‌های تصحیح اریبی شده دمای حداکثر به ترتیب به ۰/۶۵ تا ۰/۸۴، ۳/۸۳ تا ۶/۱ درجه‌سانتی‌گراد، ۰/۶۳ تا ۰/۹۵ و ۲/۹۱ تا ۴/۴۹ درجه‌سانتی‌گراد و برای داده‌های تصحیح اریبی شده دمای حداقل به ترتیب به ۰/۴۳ تا ۰/۸۰، ۳/۵۵ تا ۶/۱۱ درجه‌سانتی‌گراد، ۰/۳۹ تا ۰/۸۱ و ۲/۵۷ تا ۴/۷۸ درجه‌سانتی‌گراد بهبود یافت (جدول ۵). برای

داده‌های بارندگی، تصحیح اریبی با استفاده از روش نقشه‌برداری توزیع بارش باعث شد R<sup>2</sup> بین ۰/۳۵ تا ۰/۷۶، RMSE بین ۱/۰۲ تا ۱/۸۸ میلی‌متر، NSE بین ۰/۲۱ تا ۰/۶۹ و MAE بین ۰/۱۵ تا ۰/۵۱ میلی‌متر تغییر یابد (جدول ۶). باتوجه به حجم زیاد داده‌ها، نتایج مربوط به ارزیابی کارایی سایر مدل‌ها نشان داده نشده است. رشیدی قانع و همکاران (Rashidi Ghane et al., 2023) در مطالعه‌ای توانمندی روش‌های مختلف تصحیح اریبی با CMhyd را مورد بررسی قرار دادند و به این نتیجه رسیدند که روش مقیاس‌گذاری خطی و نقشه‌برداری توزیع دما به ترتیب برای داده‌های بارش و دما از دقت بالاتری نسبت به سایر روش‌ها در ایستگاه‌های منتخب حوزه کشف‌رود برخوردار بودند. برارخان‌پور احمدی و همکاران (Bararkhanpour Ahmadi et al., 2024) نیز روش‌های مختلف تصحیح اریبی با CMhyd را ارزیابی نموده و نشان دادند که روش‌های نقشه‌برداری توزیع دما و مقیاس‌گذاری واریانس از همبستگی بالاتری با داده‌های دمای حداقل و حداکثر ایستگاهی استان مازندران در دوره پایه برخوردار بودند. به‌منظور درک درست و پیش‌نگری شرایط اقلیم آینده کره زمین،

به ترتیب ۱/۱۳، ۱/۷۳ و ۲/۵۳ درجه سانتی گراد در ایرانشهر، ۱/۴۲، ۲/۲۳ و ۳/۱۷ درجه سانتی گراد در زابل و ۱/۲۸، ۲/۴۴ و ۲/۸۳ درجه سانتی گراد در زاهدان و در سناریوی SSP5-8.5 به ترتیب ۱/۳۸، ۲/۷۵ و ۴/۵۳ درجه سانتی گراد در ایرانشهر، ۱/۷۶، ۳/۵۶، ۵/۷۸ درجه سانتی گراد در زابل و ۱/۵۷، ۳/۱۵ و ۵/۱۲ درجه سانتی گراد در زاهدان افزایش خواهد یافت (شکل ۲).

میانگین سالانه دمای حداقل نیز در دوره آینده نزدیک، میانه و دور نسبت به دوره پایه در سناریوی SSP2-4.5 به ترتیب ۱/۴۰، ۲/۲۴ و ۲/۹۸ درجه سانتی گراد در ایرانشهر، ۱/۴۳، ۲/۱۹ و ۳/۱۲ درجه سانتی گراد در زابل و ۱/۸۷، ۳/۴۶ و ۴/۱۰ درجه سانتی گراد در زاهدان و در سناریوی SSP5-8.5 به ترتیب ۱/۷۲، ۳/۳۷ و ۵/۵۳ درجه سانتی گراد در ایرانشهر، ۱/۶۷، ۳/۵۷ و ۵/۸۷ درجه سانتی گراد در زابل و ۲/۲۲، ۴/۶۶ و ۷/۵۳ درجه سانتی گراد در زاهدان افزایش خواهد یافت (شکل ۳). افزایش قابل توجه دما در شرایط اقلیمی آینده ایران برای بخش‌های مختلف کشور در مطالعاتی مانند زرین و همکاران (Zarrin et al., 2021) و نیازکار و همکاران (Niazkar et al., 2023) نیز گزارش شده است. افزایش سالانه در میانگین دمای حداکثر و حداقل در این مطالعه عمدتاً ناشی از افزایش دمای هوا در ماه‌های ژانویه، فوریه، آگوست، سپتامبر، اکتبر، نوامبر و دسامبر خواهد بود (شکل‌های ۲ و ۳).

استفاده از نتایج ریزمقیاس‌نمایی و تصحیح اریبی شده مدل‌های گردش عمومی جو در مناطق مختلف دنیا توصیه می‌گردد. با کم شدن عدم قطعیت مدل‌ها و همچنین پیشرفت فناوری و افزایش قدرت پردازش رایانه‌ها، روزبه‌روز باید منتظر نتایج دقیق‌تر و پیش‌نگری‌های بهتر از این مدل‌ها بود (Rashidi Ghane et al., 2023).

باتوجه به نتایج حاصل از ارزیابی روش‌های مختلف تصحیح اریبی (جدول‌های ۵ و ۶) از روش نقشه‌برداری توزیع دما و بارش جهت تصحیح اریبی داده‌های اقلیمی در دوره‌های زمانی آینده استفاده شد. داده‌های تصحیح اریبی شده مدل‌های منتخب به صورت میانگین جهت ارزیابی میزان تغییرات در دوره‌های زمانی آینده مورد استفاده قرار گرفتند. چراکه باتوجه به تعدد مدل‌های اقلیمی و دسترسی آسان به داده‌های خروجی آن‌ها پیشنهاد می‌گردد جهت کاهش عدم قطعیت تا حد امکان از چندین مدل به جای یک مدل در مطالعات تغییر اقلیم استفاده شود (Yang et al., 2021).

### تغییر در متغیرهای اقلیمی

در هر سه منطقه، میانگین سالانه دمای حداکثر و حداقل در سه دوره آینده نسبت به دوره پایه با افزایش مواجه خواهد شد که این افزایش در سناریوی SSP5-8.5 بیشتر از سناریوی SSP2-4.5 خواهد بود (شکل‌های ۲ و ۳). میانگین سالانه دمای حداکثر در دوره آینده نزدیک، میانه و دور نسبت به دوره پایه در سناریوی SSP2-4.5

جدول ۵- شاخص‌های کارایی آماری تصحیح اریبی داده‌های دمای حداکثر و حداقل با استفاده از روش نقشه‌برداری توزیع دما  
Table 5- Indicators of statistical performance for bias-corrected maximum and minimum temperature data using the distribution mapping of temperature

ایستگاه Station	مدل Model	دمای حداکثر Tmax				دمای حداقل Tmin			
		R <sup>2</sup>	RMSE (°C)	NSE	MAE (°C)	R <sup>2</sup>	RMSE (°C)	NSE	MAE (°C)
ایرانشهر Iranshahr	ACCESS-CM2	0.84	3.84	0.83	2.93	0.79	3.81	0.72	2.98
	CMCC-ESM2	0.82	3.88	0.8	2.93	0.78	3.95	0.64	3.05
	EC-Earth3-CC	0.81	3.83	0.78	2.91	0.8	3.77	0.79	2.9
	EC-Earth3-Veg-LR	0.83	3.87	0.81	2.98	0.79	3.85	0.76	3.01
	INM-CM4-8	0.8	3.96	0.79	3.00	0.78	3.97	0.71	3.05
	INM-CM5-0	0.8	3.94	0.81	3.05	0.79	3.89	0.73	2.99
زابل Zabol	NorESM2-MM	0.75	4.37	0.75	3.34	0.73	4.36	0.75	3.42
	ACCESS-CM2	0.68	4.95	0.68	3.79	0.79	3.55	0.81	2.57
	CMCC-ESM2	0.82	4.92	0.68	3.8	0.78	4.6	0.76	3.61
	EC-Earth3-CC	0.7	4.33	0.95	3.69	0.79	4.49	0.78	3.53
	EC-Earth3-Veg-LR	0.77	4.85	0.69	3.74	0.8	4.45	0.81	3.49
	INM-CM4-8	0.8	5.02	0.67	3.83	0.78	4.66	0.77	3.62
زاهدان Zahedan	INM-CM5-0	0.82	4.95	0.68	3.83	0.78	4.61	0.61	3.62
	NorESM2-MM	0.73	5.28	0.63	4.06	0.74	5.01	0.63	3.95
	ACCESS-CM2	0.71	5.56	0.67	4.32	0.51	5.71	0.5	4.43
	CMCC-ESM2	0.71	5.53	0.7	4.31	0.49	5.79	0.43	4.49
	EC-Earth3-CC	0.73	5.38	0.72	4.00	0.53	5.59	0.52	4.43
	EC-Earth3-Veg-LR	0.72	5.43	0.69	4.24	0.51	5.73	0.48	4.42
Zahedan	INM-CM4-8	0.69	5.68	0.70	4.41	0.48	5.89	0.44	4.53
	INM-CM5-0	0.68	5.77	0.67	4.49	0.51	5.72	0.39	4.38
	NorESM2-MM	0.65	6.10	0.63	4.04	0.43	6.11	0.71	4.78

R<sup>2</sup>, RMSE, NSE, and MAE به ترتیب بیانگر ضریب تبیین، مجذور میانگین مربع خطا، کارایی نش-ساتکلِف و میانگین خطای مطلق می‌باشند. R<sup>2</sup>, RMSE, NSE, and MAE are correlation coefficient, root mean square error, Nash-Sutcliffe efficiency, and mean absolute error, respectively.

جدول ۶- شاخص‌های کارایی آماری تصحیح اربیبی داده‌های بارندگی با استفاده از روش نقشه‌برداری توزیع بارش  
 Table 6- Indicators of statistical performance for bias-corrected precipitation data using the distribution mapping of precipitation

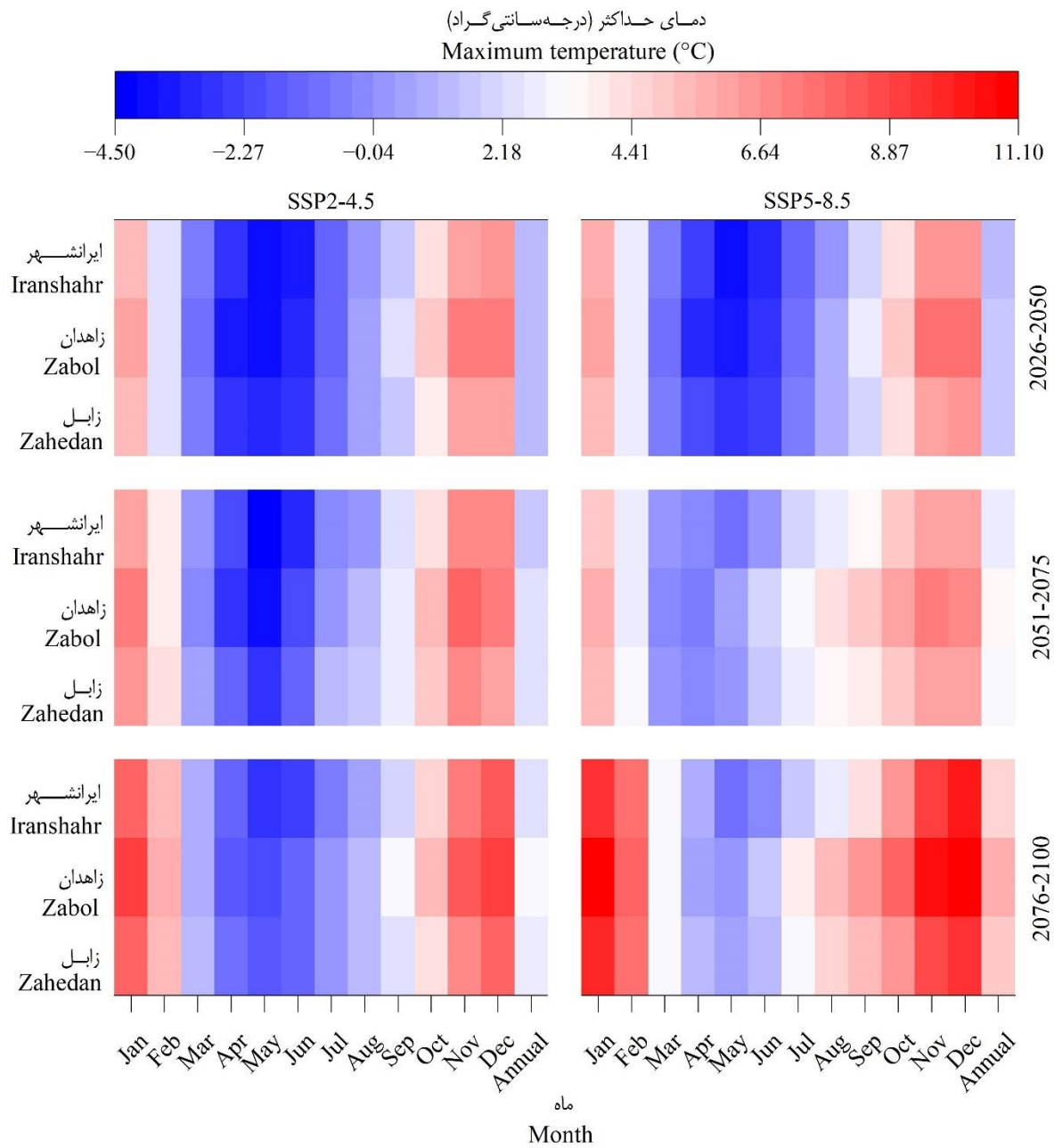
ایستگاه Station	مدل Model	R <sup>2</sup>	RMSE (mm)	NSE	MAE (mm)
ایرانشهر Iranshahr	ACCESS-CM2	0.58	1.04	0.62	0.26
	CMCC-ESM2	0.53	1.24	0.48	0.34
	EC-Earth3-CC	0.62	1.69	0.61	0.25
	EC-Earth3-Veg-LR	0.66	1.88	0.63	0.31
	INM-CM4-8	0.66	1.21	0.69	0.5
	INM-CM5-0	0.35	1.50	0.34	0.46
	NorESM2-MM	0.52	1.46	0.50	0.39
زابل Zabol	ACCESS-CM2	0.49	1.03	0.43	0.15
	CMCC-ESM2	0.44	1.21	0.29	0.27
	EC-Earth3-CC	0.44	1.02	0.21	0.16
	EC-Earth3-Veg-LR	0.69	1.23	0.55	0.18
	INM-CM4-8	0.46	1.3	0.42	0.21
	INM-CM5-0	0.47	1.11	0.4	0.35
	NorESM2-MM	0.76	1.31	0.37	0.19
زاهدان Zahedan	ACCESS-CM2	0.54	1.13	0.27	0.18
	CMCC-ESM2	0.51	1.2	0.23	0.29
	EC-Earth3-CC	0.46	1.21	0.34	0.24
	EC-Earth3-Veg-LR	0.63	1.14	0.6	0.21
	INM-CM4-8	0.43	1.11	0.38	0.43
	INM-CM5-0	0.54	1.03	0.31	0.51
	NorESM2-MM	0.43	1.24	0.42	0.22

R<sup>2</sup>, RMSE, NSE, and MAE are correlation coefficient, root mean square error, Nash-Sutcliffe efficiency, and mean absolute error, respectively.

رخ خواهد داد. بالاین‌حال، حمیدیان‌پور و حجازی‌زاده (Hamidianpour & Hejazizadeh, 2012) افزایش بارندگی در فصل زمستان و کاهش بارندگی در فصل تابستان را در شهرهای زابل، زاهدان و چابهار برای دوره‌های ۲۰۳۰-۲۰۱۱، ۲۰۶۵-۲۰۴۶ و ۲۰۹۹-۲۰۸۰ با استفاده از داده‌های مدل‌های CMIP3 گزارش نمودند. اختلاف نتایج این مطالعه با تحقیق حاضر ناشی از تفاوت در دوره‌های زمانی و داده‌های اقلیمی مورد مطالعه می‌باشد.

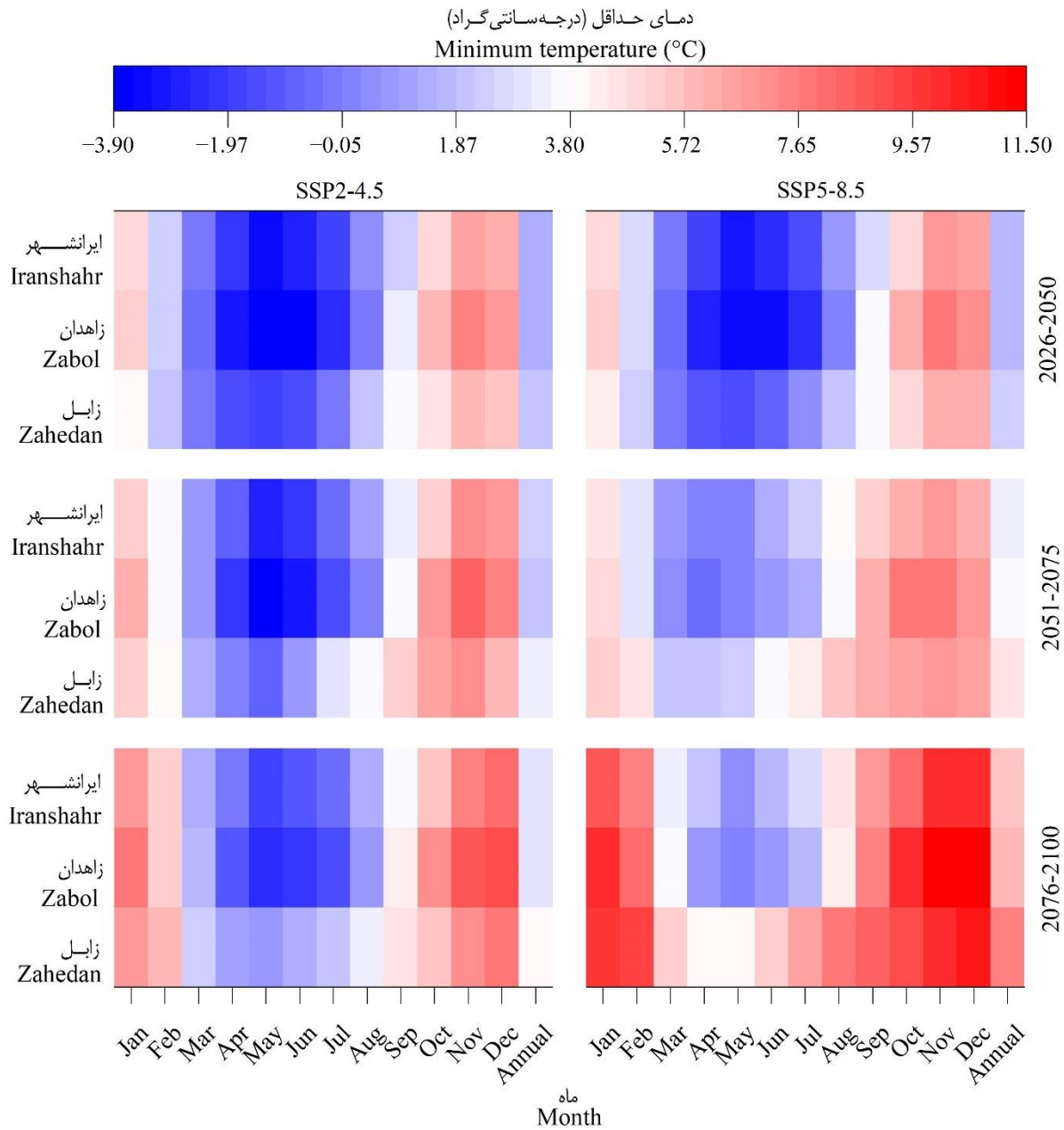
در بین مناطق مورد بررسی، زابل بیشترین میزان تغییر در دمای حداکثر و بارندگی سالانه و زاهدان بیشترین میزان تغییر در دمای حداقل را در آینده تجربه خواهند کرد (شکل‌های ۲-۴). این امر می‌تواند ناشی از عرض جغرافیایی بالاتر زابل و ارتفاع بیشتر زاهدان باشد (شکل ۱). در مطالعه‌ای یانگ و همکاران (Yang et al., 2021) نشان دادند که مناطق با ارتفاع بیشتر و در عرض جغرافیایی بالاتر، تغییرات بیشتری را در دما و بارندگی در آینده تجربه خواهند کرد.

مجموع بارندگی سالانه در دوره آینده نزدیک، میانه و دور نسبت به دوره پایه در سناریوی SSP2-4.5 به ترتیب ۱۴/۶۵-، ۸/۸۹- و ۳۳/۷۸- درصد در زابل و ۲۴/۰۹-، ۳/۱۷ و ۱۴/۴۲- درصد در زاهدان و در سناریوی SSP5-8.5 به ترتیب ۱۵/۱۹-، ۲۱/۱۰- و ۴۹/۳۳- درصد در ایرانشهر، ۲۲/۵۸-، ۲۵/۷۸- و ۲۰/۸۹- درصد در زابل و ۴۰/۱۰-، ۳۹/۶۲- و ۴/۱۲- درصد در زاهدان تغییر پیدا خواهد کرد (شکل ۴). کاهش سالانه بارندگی عمدتاً از کاهش بارندگی در ماه‌های ژانویه، فوریه، مارچ، نوامبر و دسامبر و افزایش سالانه بارندگی از افزایش قابل توجه بارندگی در ماه‌های می و اکتبر نسبت به دوره پایه ناشی خواهد شد (شکل ۴). به عبارت دیگر بارندگی در آینده نسبت به دوره پایه عمدتاً در فصول پاییز و زمستان کاهش و در فصول بهار و تابستان افزایش خواهد یافت. کوچکی و همکاران (Koocheki et al., 2022) نیز در مطالعه‌ای افزایش میزان بارندگی در ماه‌های خشک سال (جولای تا سپتامبر) را در اکثر مناطق کشور در دوره‌های آتی پیش‌بینی نمودند. زارعیان (Zareian, 2022) نیز در مطالعه‌ای بیان داشتند که بیشترین میزان کاهش بارندگی در شهرهای مختلف استان یزد در فصل پاییز



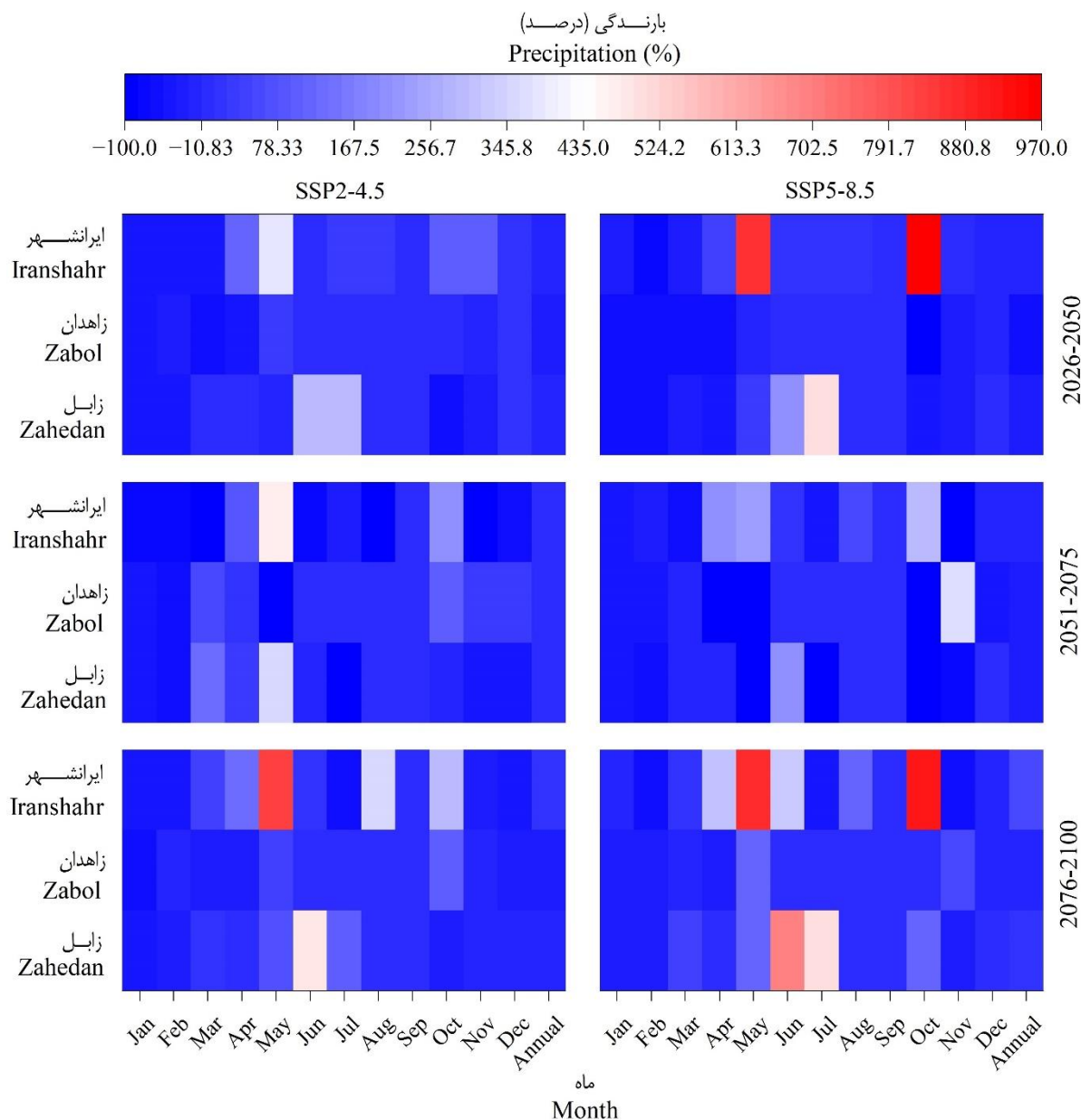
شکل ۲- تغییرات پیش‌بینی شده دمای حداکثر ماهانه و سالانه در سه دوره ۲۰۲۶-۲۰۵۰، ۲۰۵۱-۲۰۷۵ و ۲۰۷۶-۲۱۰۰ نسبت به دوره پایه (۱۹۹۰-۲۰۱۴) برای سناریوهای SSP2-4.5 و SSP5-8.5

Figure 2- Projected changes of monthly and annual maximum temperature in the 2026–2050, 2051–2075, and 2076–2100 relative to the baseline period (1990–2014) under SSP2–4.5 and SSP5–8.5 emission scenarios



شکل ۳- تغییرات پیش‌بینی شده دمای حداقل ماهانه و سالانه در سه دوره ۲۰۲۶-۲۰۵۰، ۲۰۵۱-۲۰۷۵ و ۲۰۷۶-۲۱۰۰ نسبت به دوره پایه (۱۹۹۰-۲۰۱۴) برای سناریوهای SSP2-4.5 و SSP5-8.5

Figure 3- Projected changes of monthly and annual minimum temperature in the 2026–2050, 2051–2075, and 2076–2100 relative to the baseline period (1990–2014) under SSP2–4.5 and SSP5–8.5 emission scenarios



شکل ۴- تغییرات پیش‌بینی شده بارندگی ماهانه و سالانه در سه دوره ۲۰۲۶-۲۰۵۰، ۲۰۵۱-۲۰۷۵ و ۲۰۷۶-۲۱۰۰ نسبت به دوره پایه (۲۰۱۴-۱۹۹۰) برای سناریوهای SSP2-4.5 و SSP5-8.5

Figure 4- Projected changes of monthly and annual maximum precipitation in the 2026-2050, 2051-2075, and 2076-2100 relative to the baseline period (1990-2014) under SSP2-4.5 and SSP5-8.5 emission scenarios

مختلف موجود در CMhyd، روش نقشه‌برداری توزیع دما و بارش کارایی بهتری در تصحیح اریبی خروجی‌های مدل‌های اقلیمی داشتند. همچنین نتایج نشان داد که تحت سناریوهای مختلف تغییر اقلیم، دمای حداکثر و حداقل در دوره‌های آینده نزدیک، میانه و دور نسبت به دوره پایه با افزایش مواجه خواهد شد که این افزایش در ماه‌های سرد سال (فصل‌های پاییز و زمستان) بیشتر از ماه‌های گرم سال خواهد بود. با این حال، تغییرات بارندگی در دوره‌های زمانی آینده به

### نتیجه‌گیری

به‌طور کلی نتایج این مطالعه نشان داد که مدل‌های CMIP6 کارایی خوبی در شبیه‌سازی دمای حداقل و حداکثر و کارایی ضعیفی در شبیه‌سازی بارندگی روزانه در سه منطقه زابل، زاهدان و ایرانشهر دارند. با این حال، تصحیح اریبی داده‌های مدل‌های اقلیمی سبب بهبود کارایی خروجی‌های مدل‌های اقلیمی گردید و در بین روش‌های

اهمیت بسیار دارد.

یک شکل نبوده و در برخی دوره‌ها شاهد کاهش و برخی شاهد افزایش بارندگی نسبت به دوره پایه خواهیم بود. اما در حالت کلی میزان کاهش بارندگی بیشتر از افزایش آن خواهد بود. لذا از آنجایی که مناطق مورد مطالعه دارای اقلیم خشک بوده احتمالاً در آینده با مشکلات متعددی در زمینه تأمین منابع آب لازم برای بخش‌های مختلف مواجه خواهند شد. در نتیجه تدوین و اجرای برنامه‌های مدیریتی مناسب در راستای نیاز هر منطقه، به‌منظور مدیریت مناسب منابع آب و سازگاری با دماهای حدی و عواقب آن،

### سیاسگزاری

این مقاله با حمایت‌های مالی پژوهشگاه زابل مستخرج از طرح پژوهشی با کد PR-RIOZ-1402-5504-1 اجرا گردیده است که بدین‌وسیله قدردانی می‌گردد.

## References

1. Abdolizadeh, F., Mohammad Khorshiddoust, A., & Jahanbakhsh, S. (2023). Projection of the future outlook of temperature and precipitation in Urmia Lake basin by the CMIP6 models. *Physical Geography Research*, 55(1), 95-112. (In Persian with English abstract). <https://doi.org/10.22059/jphgr.2023.352727.1007737>
2. Ashraf, B., Alizade, A., Mousavi Baygi, M., Bannayan Aval, M. (2013). Verification of temperature and precipitation simulated data by individual and ensemble performance of five AOGCM models for North East of Iran. *Journal of Water and Soil*, 28(2), 253-266. (In Persian with English abstract). <https://doi.org/10.22067/JSW.V0I0.38011>.
3. Bağçacı, S.Ç., Yucel, I., Duzenli, E., & Yilmaz, M.T. (2021). Intercomparison of the expected change in the temperature and the precipitation retrieved from CMIP6 and CMIP5 climate projections: A Mediterranean hot spot case, Turkey. *Atmospheric Research*, 256, 105576. <https://doi.org/10.1016/j.atmosres.2021.105576>
4. Bararkhanpour Ahmadi, S., Nadi, M., Mazloom Babanari, S., & Jedariforoughi, A. (2024). Analyzing the effect of climate change on the trend of extreme temperatures along the coast of Mazandaran province based on CMIP6 models. *Journal of Water and Soil Conservation*, 30(4), 1-27. (In Persian with English abstract). <https://doi.org/10.22069/jwsc.2023.21185.3635>
5. Faisal, A.A., Taha, D.S., Hassan, W.H., Lakhera, S.K., Ansar, S., & Pradhan, S. (2023). Subsurface flow constructed wetlands for treating of simulated cadmium ions-wastewater with presence of *Canna indica* and *Typha domingensis*. *Chemosphere*, 338, 139469. <https://doi.org/10.1016/j.chemosphere.2023.139469>
6. GhorbaniMinaei, L., Mosaedi, A., Zakerinia, M., Kalbali, E., & Ghabaei Soogh, M. (2024). Study of future climate change on the temperature and precipitation trends in Qarasu basin based on the CMIP6 models. *Iranian Journal of Soil and Water Research*, 55(2), 245-268. (In Persian with English abstract)
7. Hamidianpour, M., & Hejazizadeh, Z. (2012). Investigating changes in temperature and precipitation using the atmospheric general circulation model, a case study of Sistan-va-Baluchestan province. National Congress on Border Cities and Security; Challenges and Strategies-CBCS, Sistan-va-Baluchestan University, Zahedan, Iran. (In Persian)
8. Hassan, W.H., Nile, B.K., Mahdi, K., Wesseling, J., & Ritsema, C. (2021). A feasibility assessment of potential artificial recharge for increasing agricultural areas in the Karbala desert in Iraq using numerical groundwater modeling. *Water*, 13(22), 3167. <https://doi.org/10.3390/w13223167>
9. IPCC. (2020). The physical science basis. Contribution of Working Group I to the Sixth Assessment Report of the Intergovernmental Panel on Climate Change. IPCC, Geneva, Switzerland.
10. Kamworapan, S., Thao, P.T.B., Gheewala, S. H., Pimonsree, S., & Prueksakorn, K. (2021). Evaluation of CMIP6 GCMs for simulations of temperature over Thailand and nearby areas in the early 21st century. *Heliyon*, 7(11). <https://doi.org/10.1016/j.heliyon.2021.e08263>
11. Koocheki, A., Mahallati, M.N., Bannayan, M., & Yaghoubi, F. (2022). Simulating resilience of rainfed wheat-based cropping systems of Iran under future climate change. *Mitigation and Adaptation Strategies for Global Change*, 27(4), 27. <https://doi.org/10.1007/s11027-022-09996-3>
12. Kouhi, M., Mousavi Baygi, M., Farid hosseini, A.R., Sanaei Nejad, S.H., & Jabbari Nooghabi, H. (2012). Statistical downscaling of extremes of precipitation and construction of their future scenarios in the Kashfroud Basin. *Journal of Climate Research*, 1391(12), 35-53. (In Persian with English abstract)
13. Mianabadi, A., Bateni, M.M., & Mohammadi, S. (2023). Projection of change in the distribution of precipitation and temperature using bias-corrected simulations of CMIP6 climate models (Case study: Kerman synoptic station). *Journal of Climate Change Research*, 4(13), 65-84. (In Persian with English abstract)
14. Mohsen, K.A., Nile, B.K., & Hassan, W.H. (2020). Experimental work on improving the efficiency of storm networks using a new galley design filter bucket. In: IOP Conference Series: Materials Science and Engineering, vol. 671, No. 1. IOP Publishing, 012094.

15. Monteverde, C., De Sales, F., & Jones, C. (2022). Evaluation of the CMIP6 performance in simulating precipitation in the Amazon River basin. *Climate*, 10(8), 122. <https://doi.org/10.3390/cli10080122>
16. Muhaisen, N.K., Khayyun, T.S., Al Mukhtar, M., & Hassan, W.H. (2024). Forecasting changes in precipitation and temperatures of a regional watershed in Northern Iraq using LARS-WG model. *Open Engineering*, 14(1), 20220567.
17. Mukheef, R.A., Hassan, W.H., & Alqzweeni, S. (2024). Projections of temperature and precipitation trends using CMhyd under CMIP6 scenarios: A case study of Iraq's Middle and West. *Atmospheric Research*, 306, 107470. <https://doi.org/10.1016/j.atmosres.2024.107470>
18. Nash, J.E., & Sutcliffe, J.V. (1970). River flow forecasting through conceptual models part I—A discussion of principles. *Journal of Hydrology*, 10(3), 282-290. [https://doi.org/10.1016/0022-1694\(70\)90255-6](https://doi.org/10.1016/0022-1694(70)90255-6)
19. Niazkar, M., Goodarzi, M.R., Fatehifar, A., & Abedi, M.J. (2023). Machine learning-based downscaling: application of multi-gene genetic programming for downscaling daily temperature at Dogonbadan, Iran, under CMIP6 scenarios. *Theoretical and Applied Climatology*, 151(1), 153-168.
20. Rashid, H., Yang, K., Zeng, A., Ju, S., Rashid, A., Guo, F., & Lan, S. (2021). Predicting the hydrological impacts of future climate change in a humid-subtropical watershed. *Atmosphere*, 13(1), 12. <https://doi.org/10.3390/atmos13010012>
21. Rashidi Ghane, M., Motevalli, S., Janbaz Ghobadi, G.R., & Kouhi, M. (2023). Evaluation of the ability of three statistical methods to downscale the output of temperature and precipitation of CMIP6 models in the Kashfrud basin. *Journal of Climate Research*, 1402(53), 117-132. (In Persian with English abstract)
22. Taylor, K.E. (2005). Summarizing multiple aspects of model performance in a single diagram. *Journal Geophysics Research*, 106, 7183-7192. <http://www.pcmdi.llnl.gov/publications/ab55.html>
23. Teutschbein, C., & Seibert, J. (2012). Bias correction of regional climate model simulations for hydrological climate-change impact studies: Review and evaluation of different methods. *Journal of Hydrology*, 456, 12-29.
24. Van Wart, J., Grassini, P., Yang, H., Claessens, L., Jarvis, A., & Cassman, K.G. (2015). Creating long-term weather data from thin air for crop simulation modeling. *Agricultural and Forest Meteorology*, 209, 49-58. <https://doi.org/10.1016/j.agrformet.2015.02.020>
25. Willmott, C.J. (1981). On the validation of models. *Physical Geography*, 2(2), 184-194. <https://doi.org/10.1080/02723646.1981.10642213>
26. Yang, X., Zhou, B., Xu, Y., & Han, Z. (2021). CMIP6 evaluation and projection of temperature and precipitation over China. *Advances in Atmospheric Sciences*, 38, 817-830. <https://doi.org/10.1007/s00376-021-0351-4>
27. Yazdandoost, F., Moradian, S., Izadi, A., & Aghakouchak, A. (2021). Evaluation of CMIP6 precipitation simulations across different climatic zones: Uncertainty and model intercomparison. *Atmospheric Research*, 250, 105369. <https://doi.org/10.1016/j.atmosres.2020.105369>
28. Zareian, M. (2022). Effects of climate change on temperature and precipitation in Yazd province based on combined output of CMIP6 models. *JWSS-Isfahan University of Technology*, 26(2), 91-105. (In Persian with English abstract)
29. Zarrin, A., & Dadashi-Roudbari, A. (2023). Evaluation of CMIP6 models in estimating temperature in Iran with emphasis on equilibrium climate sensitivity (ECS) and transient climate response (TCR). *Iranian Journal of Geophysics*, 17(1), 39-56. (In Persian with English abstract)
30. Zarrin, A., Dadashi-Rodbari, A., & Salehabadi, N. (2021). Projected temperature anomalies and trends in different climate zones in Iran based on CMIP6. *Iranian Journal of Geophysics*, 15(1), 35-54. <https://doi.org/10.30499/ijg.2020.249997.1292>